

Le modèle de Lambrechts–Stanley des espaces de configuration

Najib Idrissi



Laboratoire
Paul Painlevé

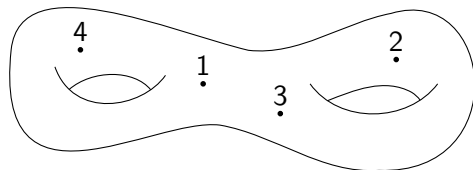


Université
de Lille
1 SCIENCES
ET TECHNOLOGIES

Espaces de configuration

M : variété lisse compacte sans bord de dimension n (+ adjectifs)

$$\text{Conf}_k(M) = \{(x_1, \dots, x_k) \in M^{\times k} \mid x_i \neq x_j \ \forall i \neq j\}$$



But

Obtenir un modèle de $\text{Conf}_k(M)$ à partir d'un modèle de M

Plan

- ① Le modèle
- ② Action de l'opérade de Fulton–MacPherson
- ③ Esquisse de preuve grâce à la formalité de Kontsevich
- ④ Calcul de l'homologie de factorisation

Modèles

On se place dans le cadre des modèles rationnels/réels :

$$A \simeq \Omega^*(M) \text{ « formes sur } M \text{ » (de Rham, polynomiales par morceaux...)}$$

où A est une CDGA (algèbre différentielle graduée commutative) « explicite »

M simplement connexe $\implies A$ contient tout le type d'homotopie rationnel/réel de M

$\text{Conf}_k(M)$ est une variété lisse aussi ; on cherche une CDGA $\simeq \Omega^*(\text{Conf}_k(M))$ construite à partir de A

Modèles à dualité de Poincaré

CDGA à dualité de Poincaré (A, d, ε) (exemple : $A = H^*(M)$)

- (A, d) : CDGA connexe de type fini ;
- $\varepsilon : A^n \rightarrow \mathbb{k}$ t.q. $\varepsilon \circ d = 0$;
- t.q. $A^k \otimes A^{n-k} \rightarrow \mathbb{k}$, $a \otimes b \mapsto \varepsilon(ab)$ est non-dégénéré

Théorème (Lambrechts–Stanley 2008)

Toute variété **simplement connexe** admet un tel modèle

$$\begin{array}{ccc} \Omega^*(M) & \xleftarrow{\sim} \cdot & \xrightarrow{\sim} \exists A \\ & \searrow & \swarrow \exists \varepsilon \\ & \int_M & \mathbb{k} \end{array}$$

Remarque

Hypothèse raisonnable : $\exists L \simeq L'$ non simplement connexe t.q. $\text{Conf}_k(L) \not\cong \text{Conf}_k(L') \forall k \geq 2$ [Longoni–Salvatore].

Classe diagonale

En cohomologie, on a la **classe diagonale**

$$\begin{aligned}
 [M] \in H_n(M) &\mapsto \delta_*[M] \in H_n(M \times M) & \delta(x) &= (x, x) \\
 &\leftrightarrow \Delta_M \in H^{2n-n}(M \times M)
 \end{aligned}$$

Représentant explicite dans un modèle à dualité de Poincaré (A, d, ε) :

$$\Delta_A = \sum (-1)^{|a_i|} a_i \otimes a_i^\vee \in (A \otimes A)^n$$

$\{a_i\}$: base graduée ; $\varepsilon(a_i a_j^\vee) = \delta_{ij}$ (Δ_A indépendante de la base choisie)

Propriétés

- $(a \otimes 1)\Delta_A = (1 \otimes a)\Delta_A$ « concentrée autour de la diagonale »
- $A \otimes A \xrightarrow{\mu_A} A$, $\Delta_A \mapsto e(A) = \chi(A) \cdot \text{vol}_A$

Le modèle de Lambrechts–Stanley

$\text{Conf}_k(\mathbb{R}^n)$ est une variété formelle, de cohomologie [Arnold–Cohen]

$$H^*(\text{Conf}_k(\mathbb{R}^n)) = S(\omega_{ij})_{1 \leq i \neq j \leq k} / I, \quad \deg \omega_{ij} = n - 1$$

$$I = \langle \omega_{ji} = \pm \omega_{ij}, \omega_{ij}^2 = 0, \omega_{ij}\omega_{jk} + \omega_{jk}\omega_{ki} + \omega_{ki}\omega_{ij} = 0 \rangle.$$

$\mathcal{G}_A(k)$ modèle conjectural de $\text{Conf}_k(M) = M^{\times k} \setminus \bigcup_{i \neq j} \Delta_{ij}$

- « Générateurs » : $A^{\otimes k} \otimes S(\omega_{ij})_{1 \leq i \neq j \leq k}$
- Relations :
 - Relations d'Arnold pour les ω_{ij}
 - $p_i^*(a) \cdot \omega_{ij} = p_j^*(a) \cdot \omega_{ij}$. ($p_i^*(a) = 1 \otimes \cdots \otimes 1 \otimes a \otimes 1 \otimes \cdots \otimes 1$)
- $d\omega_{ij} = (p_i^* \cdot p_j^*)(\Delta_A)$.

Premiers exemples

$$G_A(k) = (A^{\otimes k} \otimes S(\omega_{ij})_{1 \leq i < j \leq k} / J, d\omega_{ij} = (p_i^* \cdot p_j^*)(\Delta_A))$$

$$G_A(0) = \mathbb{R} : \text{modèle de } \text{Conf}_0(M) = \{\emptyset\} \quad \checkmark$$

$$G_A(1) = A : \text{modèle de } \text{Conf}_1(M) = M \quad \checkmark$$

$$\begin{aligned} G_A(2) &= \left(\frac{A \otimes A \otimes 1 \oplus A \otimes A \otimes \omega_{12}}{1 \otimes a \otimes \omega_{12} \equiv a \otimes 1 \otimes \omega_{12}}, d\omega_{12} = \Delta_A \otimes 1 \right) \\ &\cong (A \otimes A \otimes 1 \oplus A \otimes_A A \otimes \omega_{12}, d\omega_{12} = \Delta_A \otimes 1) \\ &\cong (A \otimes A \otimes 1 \oplus A \otimes \omega_{12}, d\omega_{12} = \Delta_A \otimes 1) \\ &\xrightarrow{\sim} A^{\otimes 2} / (\Delta_A) \end{aligned}$$

Historique rapide de G_A

- 1969 [Arnold–Cohen] $H^*(\text{Conf}_k(\mathbb{R}^n)) \approx "G_{H^*(\mathbb{R}^n)}(k)"$
- 1978 [Cohen–Taylor] $E^2 = G_{H^*(M)}(k) \implies H^*(\text{Conf}_k(M))$
- 1994 Pour les variétés projectives complexes compactes lisses
(\implies Kähler) :
- [Kříž] $G_{H^*(M)}(k)$ modèle de $\text{Conf}_k(M)$
 - [Totaro] La SS de Cohen–Taylor SS dégénère
- 2004 [Lambrechts–Stanley] $A^{\otimes 2}/(\Delta_A)$ modèle de $\text{Conf}_2(M)$ pour
une variété 2-connexe
- 2004 [Félix–Thomas, Berceanu–Markl–Papadima] $G_{H^*(M)}^\vee(k) \cong$
page E^2 de la SS de Bendersky–Gitler pour
 $H^*(M^{\times k}, \bigcup_{i \neq j} \Delta_{ij})$
- 2008 [Lambrechts–Stanley] $H^*(G_A(k)) \cong_{\Sigma_k\text{-gVect}} H^*(\text{Conf}_k(M))$
- 2015 [Cordova Bulens] $A^{\otimes 2}/(\Delta_A)$ modèle de $\text{Conf}_2(M)$ pour
 $\dim M = 2m$

Première partie du théorème

Théorème (I.)

Soit M une variété lisse, compacte, sans bord, simplement connexe et **de dimension au moins 4**. Alors $G_A(k)$ est un modèle **réel** de $\text{Conf}_k(M)$ pour tout $k \geq 0$.

$\dim M \geq 3 \implies \text{Conf}_k(M)$ est simplement connexe quand M l'est (cf. fibrations de Fadell–Neuwirth).

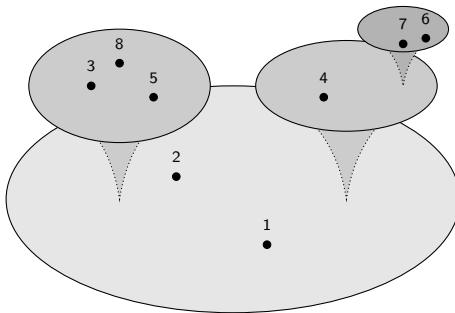
Corollaire

(A, d, ε) contient tout le type d'homotopie réel de $\text{Conf}_k(M)$

En dimension 3 : $M = S^3$ (conjecture de Poincaré) et on peut démontrer directement la conjecture sur \mathbb{Q}

Compactification de Fulton–MacPherson

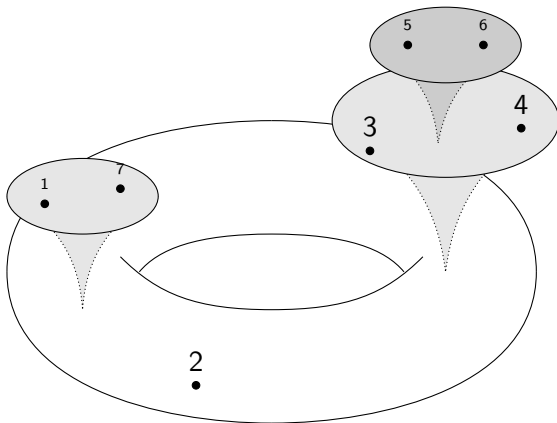
$FM_n(k)$: Compactification de Fulton–MacPherson de $\text{Conf}_k(\mathbb{R}^n)$



(+ normalisation pour gérer la non-compacité de \mathbb{R}^n)

Compactification Fulton–MacPherson (2)

$FM_M(k)$: compactification similaire de $Conf_k(M)$

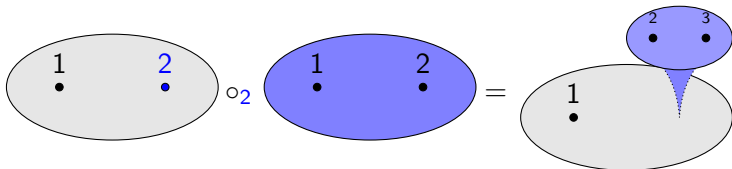


Opérades

Idée

Étudions tout $\{\text{Conf}_k(M)\}_{k \geq 0} \implies$ plus de structure

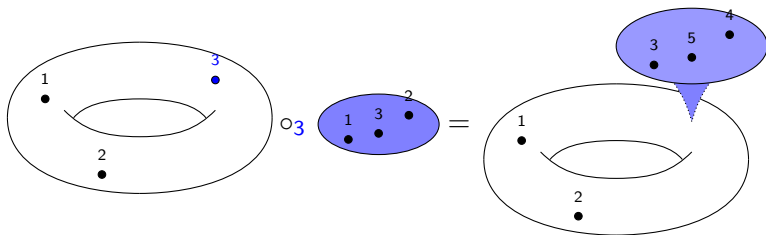
$\text{FM}_n = \{\text{FM}_n(k)\}_{k \geq 0}$ est une **opérate** : on peut insérer une configuration infinitésimale dans une autre



$$\text{FM}_n(k) \times \text{FM}_n(l) \xrightarrow{\circ_i} \text{FM}_n(k + l - 1), \quad 1 \leq i \leq k$$

Structure de module

M parallélisée $\implies \text{FM}_M = \{\text{FM}_M(k)\}_{k \geq 0}$ est un FM_n -module à droite : on peut insérer une configuration infinitésimale dans une configuration sur M



$$\text{FM}_M(k) \times \text{FM}_n(l) \xrightarrow{\circ_i} \text{FM}_M(k + l - 1), \quad 1 \leq i \leq k$$

Cohomologie de FM_n et coaction sur G_A

$H^*(FM_n)$ hérite d'une structure de coopétrade de Hopf
On peut récrire :

$$G_A(k) = (A^{\otimes k} \otimes H^*(FM_n(k)))/\text{relations, } d)$$

Proposition

$\chi(M) = 0 \implies G_A = \{G_A(k)\}_{k \geq 0}$ est un $H^*(FM_n)$ -comodule de Hopf à droite

Motivation

On veut mettre quelque chose ici :

$$G_A(k) \xleftarrow{\sim} ? \xrightarrow{\sim} \Omega^*(FM_M(k))$$

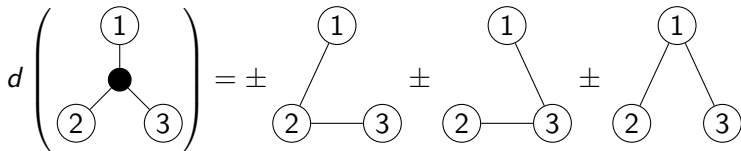
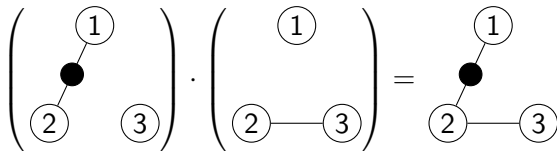
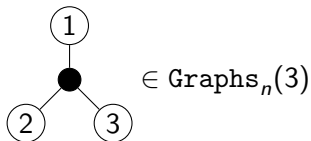
Si c'est vrai, on peut espérer qu'il y a quelque chose là !

$$\begin{array}{ccccc}
 G_A & \xleftarrow{\sim} & ? & \xrightarrow{\sim} & \Omega^*(FM_M) \\
 \circlearrowleft & & \circlearrowleft & & \circlearrowleft \\
 H^*(FM_n) & \xleftarrow{\sim} & ? & \xrightarrow{\sim} & \Omega^*(FM_n)
 \end{array}$$

Mais la ligne du bas est déjà connue : formalité de FM_n

Les complexes de graphes de Kontsevich

[Kontsevich] Coopérate de Hopf $\text{Graphs}_n = \{\text{Graphs}_n(k)\}_{k \geq 0}$



Théorème (Kontsevich 1999, Lambrechts–Volić 2014)

Complexes de graphes étiquetés

Rappel :

$$\begin{array}{ccc} \Omega_{\text{PA}}^*(M) & \xleftarrow{\sim} & R & \xrightarrow{\sim} & A \\ & \searrow & & \swarrow \varepsilon & \\ & & \mathbb{R} & & \end{array}$$

\int_M

\rightsquigarrow complexe de graphes étiquetés Graphs_R :

$$\begin{array}{c} x & y \\ \textcircled{1} & \bullet \end{array} \text{---} \in \text{Graphs}_R(1) \quad (\text{where } x, y \in R)$$

$$\begin{aligned} d \left(\begin{array}{c} x & y \\ \textcircled{1} & \bullet \end{array} \right) &= \begin{array}{c} dx & y \\ \textcircled{1} & \bullet \end{array} \pm \begin{array}{c} x & dy \\ \textcircled{1} & \bullet \end{array} \pm \begin{array}{c} xy \\ \textcircled{1} \end{array} \\ &+ \sum_{(\Delta_R)} \pm \left(\begin{array}{c} x\Delta'_R & y\Delta''_R \\ \textcircled{1} & \bullet \end{array} \right) \end{aligned}$$

Identification supplémentaire : $\left(\begin{array}{c} x & y \\ \textcircled{1} & \bullet \end{array} \right) \equiv \int_M \sigma(y) \cdot \begin{array}{c} x \\ \textcircled{1} \end{array}$

Version complète du théorème

Théorème (I., version complète)

Pour toute variété M lisse, compacte, sans bord, simplement connexe et de dimension ≥ 4 , on a :

$$\begin{array}{ccccc}
 \mathbf{G}_A & \xleftarrow{\sim} & \mathbf{Graphs}'_R & \xrightarrow{\sim} & \Omega_{\text{PA}}^*(\text{FM}_M) \\
 \circ^\dagger & & \circ^\dagger & & \circ^\ddagger \\
 H^*(\text{FM}_n) & \xleftarrow{\sim} & \mathbf{Graphs}_n & \xrightarrow{\sim} & \Omega_{\text{PA}}^*(\text{FM}_n)
 \end{array}$$

† quand $\chi(M) = 0$

‡ quand M est parallélisée

Homologie de factorisation

FM_n -algèbre : espace B + applications (+ compatibilités)

$$\text{FM}_n \circ B = \bigsqcup_{k \geq 0} \text{FM}_n(k) \times B^{\times k} \rightarrow B$$

\approx algèbres commutatives « à homotopie près » (jusqu'au degré n)

Homologie de factorisation de M à coefficients dans B :

$$\begin{aligned} \int_M B &:= \text{FM}_M \circ_{\text{FM}_n}^{\mathbb{L}} B = \text{“ Tor}^{\text{FM}_n}(\text{FM}_M, B) \text{”} \\ &= \text{hocoeg}(\text{FM}_M \circ \text{FM}_n \circ B \rightrightarrows \text{FM}_M \circ B) \end{aligned}$$

Homologie de factorisation (2)

Dans les complexes de chaînes sur \mathbb{R} :

$$\int_M B := C_*(\mathrm{FM}_M) \circ_{C_*(\mathrm{FM}_n)}^{\mathbb{L}} B$$

Formalité $C_*(\mathrm{FM}_n) \simeq H_*(\mathrm{FM}_n) \implies$

$$\begin{aligned} \mathrm{Ho}(C_*(\mathrm{FM}_n)\text{-Alg}) &\simeq \mathrm{Ho}(H_*(\mathrm{FM}_n)\text{-Alg}) \\ B &\leftrightarrow \exists \tilde{B} \end{aligned}$$

Théorème complet + « abstract nonsense » \implies

$$\int_M B \simeq \mathbf{G}_A^{\vee} \circ_{H_*(\mathrm{FM}_n)}^{\mathbb{L}} \tilde{B}$$

\rightsquigarrow bien plus calculable (dès qu'on connaît $\tilde{B} \dots$)

Comparaison avec un théorème de Knudsen

Théorème (Knudsen, 2016)

$$\begin{array}{ccc}
 & \exists U_n & \\
 & \curvearrowright & \\
 \text{Lie-Alg} & \xleftarrow[\text{oubli}]{\perp} & \text{FM}_n\text{-Alg}
 \end{array}
 \quad \int_M U_n(\mathfrak{g}) \simeq C_*^{\text{CE}}(A_{\text{PL}}^{-*}(M) \otimes \mathfrak{g})$$

Abstract nonsense \implies

$$\begin{aligned}
 C_*(\text{FM}_n)\text{-Alg} &\longleftrightarrow H_*(\text{FM}_n)\text{-Alg} \\
 U_n(\mathfrak{g}) &\longleftrightarrow S(\Sigma^{1-n}\mathfrak{g})
 \end{aligned}$$

Proposition

$$\mathbf{G}_A^{\vee} \circ_{H_*(\text{FM}_n)}^{\mathbb{L}} S(\Sigma^{1-n}\mathfrak{g}) \xrightarrow{\sim} \mathbf{G}_A^{\vee} \circ_{H_*(\text{FM}_n)} S(\Sigma^{1-n}\mathfrak{g}) \cong C_*^{\text{CE}}(A^{-*} \otimes \mathfrak{g})$$

Merci !

Merci de votre attention !

arXiv:1608.08054

Ces diapos en ligne → <http://math.univ-lille1.fr/~idrissi/>